

GKVコードの概要

渡邊智彦(名大・理)

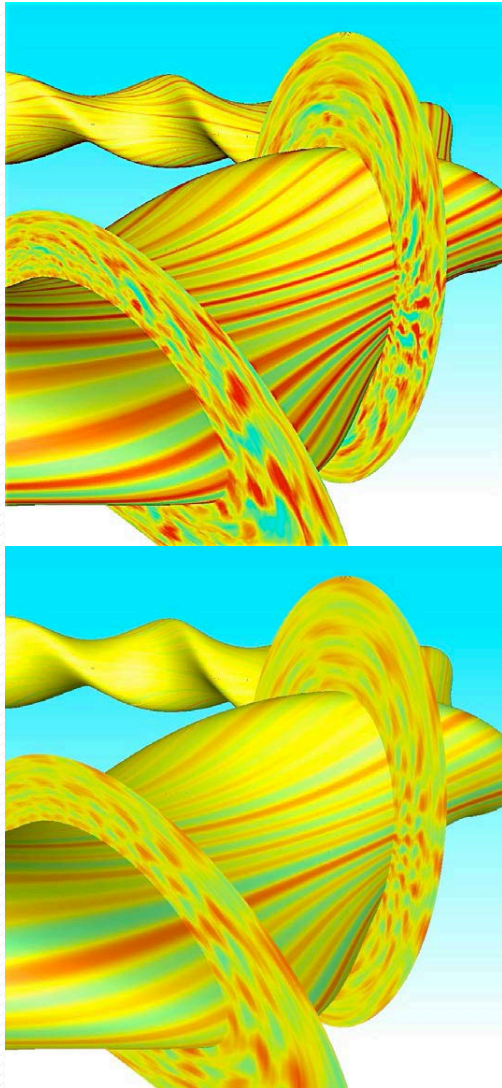
共同開発者: 洲鎌英雄、沼波政倫、石澤明宏
仲田資季、前山伸也

GKVコード

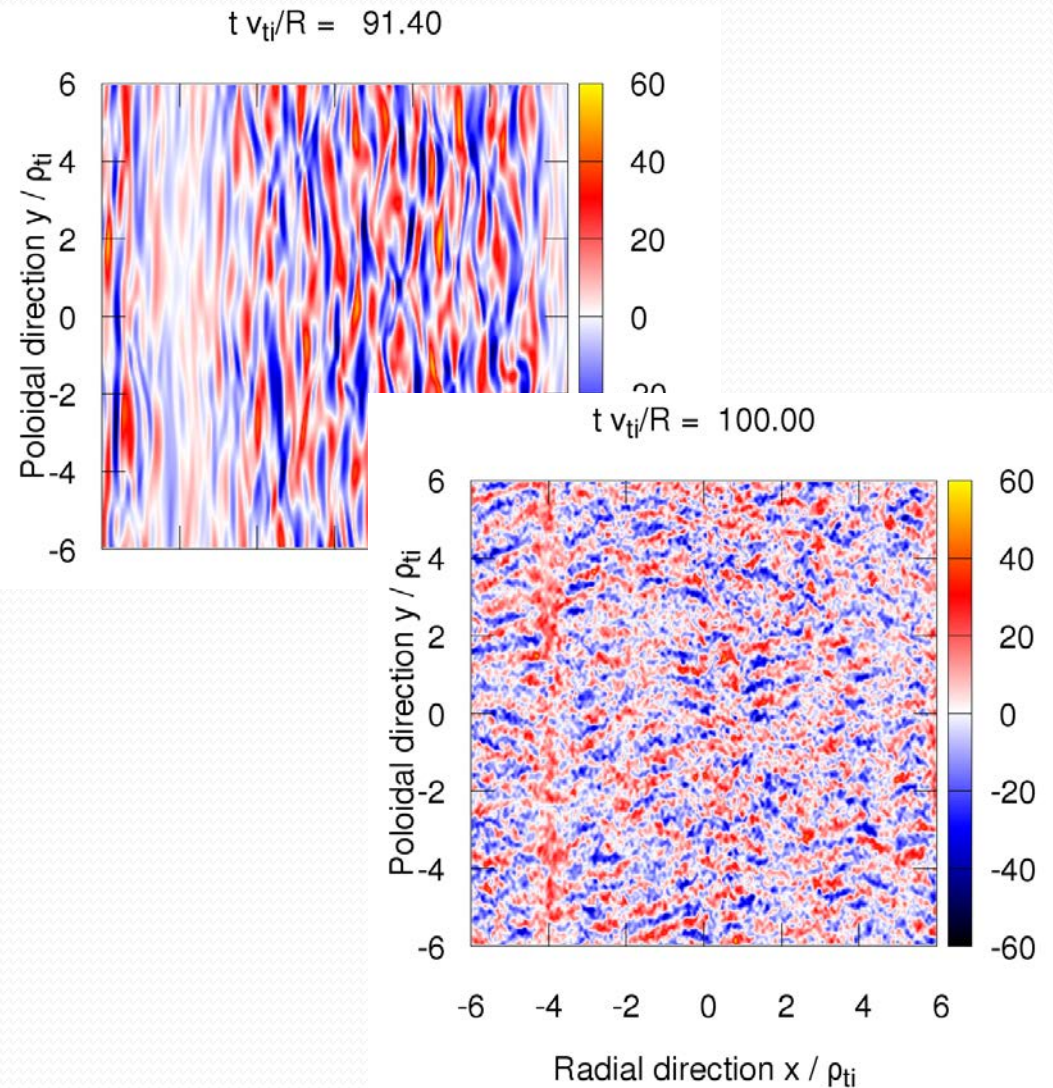
- ジャイロ運動論的シミュレーションコード
 - 磁場閉じ込めプラズマ中の乱流やゾーナルフローの時間発展を追跡
 - フラックスチューブを用いた局所モデル
 - 背景磁場、密度・温度勾配を固定し、揺動のみを扱う
 - 電磁場揺動および複数粒子種を導入
 - 同種・異種粒子間衝突
 - トカマクおよびヘリカル形状に対応
 - 実験に対応した磁場配位の導入
 - エントロピー・バランスによる精度チェックと相互作用解析

GKVコードの応用例

- 乱流輸送の同位体効果

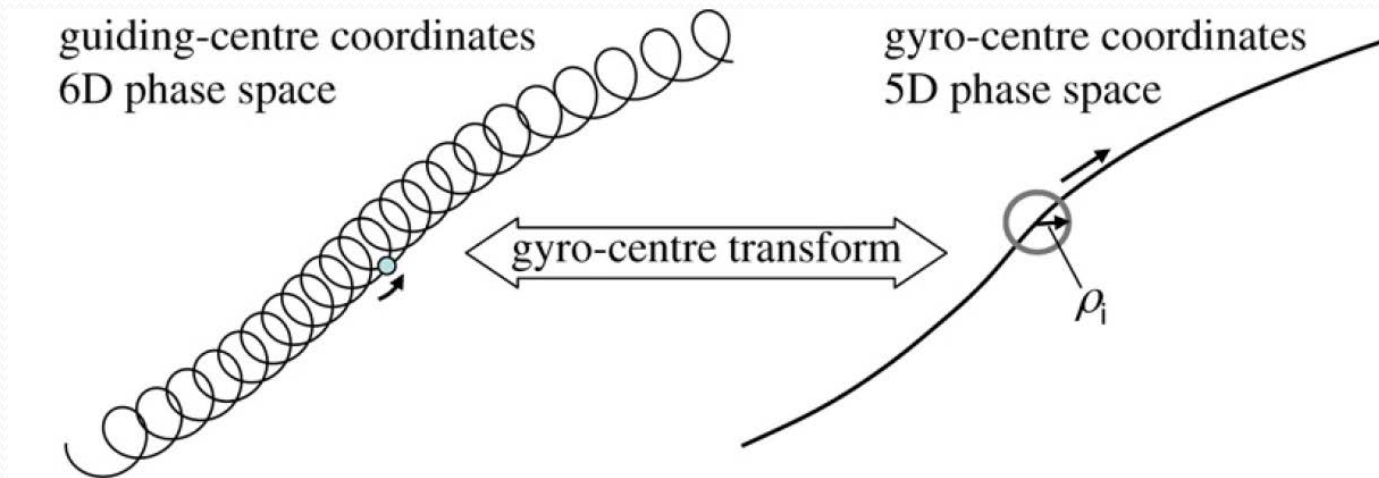


- マルチスケール乱流



ジャイロ運動論について

- 荷電粒子のジャイロ運動を平均し、速い振動成分を除去
- 位相空間座標は、6次元から5次元に低減



- 磁場に垂直方向にジャイロ半径程度、平行方向に装置サイズ程度の波長を持つ揺らぎ(バルーニング型)を精度よく扱う
- 捕捉粒子・非捕捉粒子、磁場ドリフト、ランダウ減衰、有限ジャイロ半径、などの運動論的效果を取り入れる

どのような現象に適用するか

- ドリフト波不安定性およびドリフト波乱流
 - イオン/電子温度勾配モード (ITG/ETG)
 - 捕捉電子モード (TEM)
 - 運動論的バルーニングモード (KBM)
 - 微視的ティアリングモード (MTM)
- ゴーナルフロー、測地的音波モード (GAM)
- 運動論的Alfven波
- 磁気リコネクション
- 減衰/駆動型運動論的乱流

現状のGKVコードではできないこと

- 平衡分布の緩和 ⇒ 輸送コードへ
- 低(m, n)モード ⇒ MHDコードへ
- 加熱、粒子供給 ⇒ 密度・温度分布固定
- 過渡応答 ⇒ 摂動部分なら可能?
- 磁気音波 ⇒ 拡張可能
- 背景ExB流シア、回転効果 ⇒ 拡張途中
- 多種粒子間衝突 ⇒ 拡張済み・整備中
- 平行電場による非線形効果 ⇒ GK ordering で消去

GKVで解いている方程式 (1)

波数空間(k)での表現

$$\begin{aligned} & \frac{\partial f_{sk}}{\partial t} + v_{\parallel} \nabla_{\parallel} f_{sk} + i\mathbf{k} \cdot \mathbf{v}_{sD} f_{sk} + N_{sk} - \frac{\mu \nabla_{\parallel} B}{m_s} \frac{\partial f_{sk}}{\partial v_{\parallel}} \\ & = -\frac{e_s F_{sM}}{T_s} \left[v_{\parallel} \left(\nabla_{\parallel} J_{0sk} \phi_k + \frac{\partial J_{0sk} A_{\parallel k}}{\partial t} \right) + i\mathbf{k} \cdot \mathbf{v}_{sD} J_{0sk} \phi_k - i\mathbf{k} \cdot \mathbf{v}_{s*} J_{0sk} (\phi_k - v_{\parallel} A_{\parallel k}) \right] \\ & + \sum_{s'} C_{s,s'}(f_{sk}, f_{s'k}) \end{aligned}$$

$$\left[k_{\perp}^2 + \frac{1}{\epsilon_0} \sum_s \frac{e_s^2 n_s}{T_s} (1 - \Gamma_{0sk}) \right] \phi_k = \frac{1}{\epsilon_0} \sum_s e_s \int J_{0sk} f_{sk} dv^3$$

$$k_{\perp}^2 A_{\parallel k} = \mu_0 \sum_s e_s \int v_{\parallel} J_{0sk} f_{sk} dv^3$$

(s : 粒子種)

GKVで解いている方程式 (2)

- Abbreviations

$$\nabla_{\parallel} = \frac{1}{B\sqrt{g}} \frac{\partial}{\partial z}$$

$$\mathbf{k} \cdot \mathbf{v}_{SD} = \frac{m_s v_{\parallel}^2 + \mu B}{e_s} (K_x k_x + K_y k_y)$$

$$\mathbf{k} \cdot \mathbf{v}_{S*} = -\frac{T_s}{e_s} \left[\frac{1}{L_{ns}} + \left(\frac{m_s v_{\parallel}^2}{2T_s} + \frac{\mu B}{T_s} - \frac{3}{2} \right) \frac{1}{L_{Ts}} \right] k_y$$

$$N_{sk} = - \sum_{\mathbf{k}' + \mathbf{k}'' = \mathbf{k}} (k'_x k''_y - k'_y k''_x) J_{0sk'} (\phi_{k'} - v_{\parallel} A_{\parallel k'}) \left(f_{sk''} + \frac{e_s F_{SM}}{T_s} J_{0sk''} \phi_{k''} \right)$$

$$F_{SM} = n_s \left(\frac{m_s}{2\pi T_s} \right)^{3/2} \exp \left(-\frac{m_s v_{\parallel}^2}{2T_s} - \frac{\mu B}{T_s} \right)$$

GKVで解いている方程式 (3)

- Abbreviations (continued)

$$J_{0sk} = J_0(k_{\perp}\rho_s)$$

$$\Gamma_{0sk} = I_0(k_{\perp}^2\rho_{ts}^2)\exp(-k_{\perp}^2\rho_{ts}^2)$$

$$k_{\perp}^2 = g^{xx}k_x^2 + 2g^{xy}k_xk_y + g^{yy}k_y^2$$

$$K_x = -\frac{\partial \ln B}{\partial y} + \frac{g^{xz}g^{xy} - g^{xx}g^{yz}}{B^2/c_b^2} \frac{\partial \ln B}{\partial z}$$

$$K_y = \frac{\partial \ln B}{\partial x} + \frac{g^{xz}g^{yy} - g^{xy}g^{yz}}{B^2/c_b^2} \frac{\partial \ln B}{\partial z}$$

$$\frac{1}{L_{ns}} = -\frac{d \ln n_s}{dx}$$

$$\frac{1}{L_{Ts}} = -\frac{d \ln T_s}{dx}$$

ブラックスチューブ座標

- 座標系
 - $x = c_x(\rho_F - \rho_0)$, $y = c_y[q(\rho_F)\theta_F - \zeta_F]$, $z = \theta_F$
 - $(\rho_F, \theta_F, \zeta_F)$: 平衡分布を表す任意の磁気座標
 - $x \in [-L_x, +L_x]$, $y \in [-L_y, +L_y]$, $z \in [-N_\theta\pi, +N_\theta\pi]$
 - $z = 0$ on the outward midplane
- 背景分布のパラメータを固定
 - 局所的な密度・温度勾配、磁気シアのもとでの解析; $\rho^* \rightarrow 0$ 極限
 - 動径方向に周期境界条件を適用可能
- 摂動量のFourier表現

$$\begin{aligned} A &= A(x, y, z) = \sum_{k_\perp} \tilde{A}_{k_\perp}(z) e^{ik_x x + ik_y y} \\ &= \sum_{k_\perp} \tilde{A}_{k_\perp}(\theta_F) e^{i(k_x + c_\theta \hat{s} \theta_F k_y) c_x (\rho_F - \rho_0) + ik_y c_y (q_0 \theta_F - \zeta_F)} \\ \hat{s} &= \frac{\rho_0}{q_0} \frac{dq}{d\rho_F}, \quad c_\theta = \frac{c_y q_0}{\rho_0} \end{aligned}$$

磁力線方向の境界条件

- トーラスにおける周期性
 - $A[x, y(\theta_F, \zeta_F), z(\theta_F)] = A[x, y(\theta_F + 2\pi, \zeta_F), z(\theta_F + 2\pi)]$
- よって、磁力線方向の境界条件は
 - $\tilde{A}_{\mathbf{k}_\perp}(z) = c_{k_y} \tilde{A}_{\mathbf{k}_\perp + \delta \mathbf{k}_\perp}(z + 2\pi)$
 - $\delta \mathbf{k}_\perp = -2\pi c_\theta \hat{s} k_y \nabla x$, $c_{k_y} = \exp(i2\pi q_0 k_y c_y)$
- バルーンニング表現との類似から、 z 空間を拡張すると
 - $\tilde{A}_{\mathbf{k}_\perp}(z) = c_{k_y} \tilde{A}_{\mathbf{k}_\perp + \delta \mathbf{k}_\perp}(z + 2N_\theta \pi)$
 - $\delta \mathbf{k}_\perp = -2N_\theta \pi c_\theta \hat{s} k_y \nabla x$, $c_{k_y} = \exp(i2N_\theta \pi q_0 k_y c_y)$
- アスペクト比への制約 (m : 整数)

$$\left| \frac{\delta k_x}{k_{x,min}} \right| = \left| \frac{k_y}{k_{y,min}} \right| N_\theta m, \quad m = 2\pi c_\theta \hat{s} \frac{k_{y,min}}{k_{x,min}}$$

衝突項について

- Lenard-Bernstein モデル衝突項

$$C_{sk}^{LB} = v_s \left[\frac{\partial}{\partial v_{\parallel}} \left(v_{\parallel} h_{sk} + v_{ts}^2 \frac{\partial h_{sk}}{\partial v_{\parallel}} \right) + \frac{1}{v_{\perp}} \frac{\partial}{\partial v_{\perp}} \left(v_{\perp}^2 h_{sk} + v_{ts}^2 v_{\perp} \frac{\partial h_{sk}}{\partial v_{\perp}} \right) - k_{\perp}^2 \rho_{ts}^2 h_{sk} \right]$$

$$h_{sk} = f_{sk} + e_s F_{sM} J_{0sk} \phi_k / T_s$$

- [...]内の最後の項は、ジャイロ中心のBohm拡散項
- 運動量 / エネルギーは保存しない
- 速度空間格子幅に対し適切な v_s を設定すれば数値誤差抑制
- 多種粒子衝突項 (Sugama+2009)も実装済み(公開コードでは陽解法のみ)

GKVコードでの無次元化

- 基準となる量

- 平衡分布、磁力線方向の揺動長の単位 L_{ref} (=主半径 R_0)
- 磁力線垂直方向の揺動長の単位 = ジャイロ半径 ρ_{ref}
- 速度の単位 = 熱速度 v_{ref} , 時間の単位 = $L_{\text{ref}}/v_{\text{ref}}$
- 質量 m_{ref} , 電荷 e , 数密度 n_{ref} , 温度 T_{ref}
 - 各成分ごとに m_e/m_{ref} , m_i/m_{ref} や T_e/T_{ref} , T_i/T_{ref} などを与える
 - $v_{\text{ref}} = \sqrt{T_{\text{ref}}/m_{\text{ref}}}$
 - 磁場強度は磁気軸での値

通常、いずれかの成分をreferenceに

- 変動量の規格化 (~付きは無次元量)

$$\check{f}_{sk} = \frac{L_{\text{ref}} v_{ts}^3}{\rho_{\text{ref}} n_s} f_{sk}, \quad \check{\phi}_k = \frac{L_{\text{ref}} e_{\text{ref}}}{\rho_{\text{ref}} T_{\text{ref}}} \phi_k, \quad \check{A}_{\parallel k} = \frac{L_{\text{ref}} e_{\text{ref}} v_{\text{ref}}}{\rho_{\text{ref}} T_{\text{ref}}} A_{\parallel k}$$

- 輸送係数の規格化

$$\check{\chi} = \frac{L_{\text{ref}}}{\rho_{\text{ref}}^2 v_{\text{ref}}} \chi = \chi / \chi^{GB}$$

局所モデルでは $\rho_*^{-1} = L_{\text{ref}} / \rho_{\text{ref}}$ の値は不定 ($\rho^* \rightarrow 0$)

無次元化された方程式

$$\begin{aligned} & \frac{\partial \check{f}_{sk}}{\partial \check{t}} + \check{v}_{ts} \check{v}_{\parallel} \check{\nabla}_{\parallel} \check{f}_{sk} + i \check{\mathbf{k}} \cdot \check{\mathbf{v}}_{sD} \check{f}_{sk} + \check{N}_{sk} - \check{v}_{ts} \check{\mu} \check{\nabla}_{\parallel} \check{B} \frac{\partial \check{f}_{sk}}{\partial \check{v}_{\parallel}} \\ & = - \frac{\check{e}_s \check{F}_{SM}}{\check{T}_s} \left[\check{v}_{ts} \check{v}_{\parallel} \left(\check{\nabla}_{\parallel} J_{0sk} \check{\phi}_k + \frac{\partial J_{0sk} \check{A}_{\parallel k}}{\partial \check{t}} \right) + i \check{\mathbf{k}} \cdot \check{\mathbf{v}}_{sD} J_{0sk} \check{\phi}_k - i \check{\mathbf{k}} \cdot \check{\mathbf{v}}_{s*} J_{0sk} (\check{\phi}_k - \check{v}_{ts} \check{v}_{\parallel} \check{A}_{\parallel k}) \right] \end{aligned}$$

$$\left[\check{\lambda}_D^2 \check{k}_{\perp}^2 + \sum_s \frac{\check{e}_s^2 \check{n}_s}{\check{T}_s} (1 - \Gamma_{0sk}) \right] \check{\phi}_k = \sum_s \check{e}_s \check{n}_s \int J_{0sk} \check{f}_{sk} d\check{v}^3$$

$$\check{k}_{\perp}^2 \check{A}_{\parallel k} = \check{\beta} \sum_s \check{e}_s \check{n}_s \int \check{v}_{ts} \check{v}_{\parallel} J_{0sk} \check{f}_{sk} d\check{v}^3$$

無次元化されたデバイ長と β

$$\check{\lambda}_D^2 = \frac{\lambda_{D,\text{ref}}^2}{\rho_{\text{ref}}^2}, \quad \beta = \frac{v_{\text{ref}}^2}{V_{A,\text{ref}}^2} = \frac{\rho_{\text{ref}}^2}{c^2 / \omega_{p,\text{ref}}^2}$$

GKVの数値スキーム

- 時間積分
 - 4次精度Runge-Kutta-Gill (時間刻み幅調整機能付き)
- 空間微分
 - (x, y) : FFTを用いたスペクトル法 (with 3/2-rule)
 - z : 4次中心差分 or 5次風上差分
 - (v_{\parallel}, μ) : 4次中心差分, v_{\perp} についての等間隔格子
- 速度空間積分
 - 台形公式 + $v_{\perp} = 0$ 近傍での補正
- 使用する数値計算ライブラリ
 - **FFTW** は必須
 - 他は様々なライブラリ向けにインターフェースを用意

GKVでの並列化

- MPI領域分割と通信
 - 分布関数揺動の6次元複素配列($k_x, k_y, z, v_{\parallel}, \mu, s$)を($k_y, z, v_{\parallel}, \mu, s$)の5次元領域分割
 - ポテンシャル揺動などは、(k_x, k_y, z)を(k_y, z)で分割
 - (z, v_{\parallel}, μ)では差分にともなう1対1通信
 - (v_{\parallel}, μ, s)で電荷・電流密度計算にともなうreduction通信
 - (k_x, k_y)ではFFTにともなう転置通信
 - binary データは分割されたまま出力される
- OpenMPを用いた共有並列
 - スレッドによる並列計算
 - master / slave スレッドを利用した通信と演算のoverlap

GKVのパラメータ設定

gkvp_f0.48_namelistのサンプル

補足：それぞれの詳しい説明は
README_for_namelist.txtにも記載。

```
&calct calc_type="linear",  
  z_bound="outflow",  
  z_filt="off",  
  z_calc = "up5"  
  art_diff = 0.d0,  
  num_triad_diag=0 &end  
&triad mxt=0, myt = 0/  
&equib equib_type = "eqdsk", &end
```

計算種別 : **linear / nonlinear**
磁力線方向境界条件 : **outflow**(流入・流出境界) / **zerofixed** (固定境界) / **mixed**
磁力線方向フィルタ: **off / on**
磁力線方向差分スキーム: **cf4** (4次中心差分 w/ nzb=2) / **up5** (5次風上差分 w/ nzb=3)
磁力線方向数値粘性(の強度) w/ **cf4**
エントロピー伝達解析用 (本講習では割愛)
エントロピー伝達解析用 (本講習では割愛)
平衡磁場タイプ

"analytic" - Analytic helical field with the metrics in cylinder
"s-alpha" - s-alpha model with alpha = 0 (cylindrical metrics)
"circ-MHD" - Concentric circular field with the consistent metrics
"vmec" - Stellarator field from the VMEC code via BZX code
"eqdsk" - Tokamak field (MEUDAS/TOPICS or G-EQDSK) via IGS code

GKVのパラメータ設定

gkvp_f0.48_namelistのサンプル (つづき)

補足：それぞれの詳しい説明は
README_for_namelist.txtにも記載。

```
&run_n inum=1,  
  ch_res = .false., &end  
&files f_log="./Log/gkvp_f0.40.",  
  f_hst="./gkvp_f0.40.",  
  f_phi="./Phi/gkvp_f0.40.",  
  f_fxv="./F xv/gkvp_f0.40.",  
  f_cnt="./Cnt/gkvp_f0.40.", &end  
&runlm e_limit =3500.d0, &end  
&times tend = 150.d0,  
  dtout_fxv = 150.d0,  
  dtout_ptn = 150.d0,  
  dtout_eng = 5.d-3,  
  dtout_dtc = 500.d0, &end  
&deltt dt_max = 1.d0,  
  adapt_dt = .true.,  
  courant_num = 0.6d0, &end
```

ジョブ番号
(ジョブ途中から)解像度変更 (本講習では割愛)
name tag for output data

※ L_{ref}/v_{ref} はGKVにおける時間規格化因子。
ここでは、 $L_{ref}=R_{ax}$:磁気軸主半径、
 $v_{ref} = \sqrt{T_{ref}/m_{ref}} = \sqrt{T_i/m_p}$: プロトン熱
速度ととる。

経過時間制限 [sec]
シミュレーション時間制限 [L_{ref}/v_{ref}]
分布関数出力間隔 [L_{ref}/v_{ref}]
ポテンシャル(&モーメント量)出力間隔 [L_{ref}/v_{ref}]
時間発展データ出力間隔 [L_{ref}/v_{ref}]
adaptive time-step changeの評価間隔 [L_{ref}/v_{ref}]
時間ステップの上限
adaptive time-stepの有効/無効
CFL number

GKVのパラメータ設定

gkvp_f0.48_namelistのサンプル (つづき)

並び: e, ion1, ion2, ...

```
&physp R0_Ln = 3.d0, 3.d0, 3.d0, ...
        R0_Lt = 9.d0, 6.d0, 6.d0, ...
        nu = 1.d0, 1.d0, 1.d0, ...
        Anum = 5.446170221661534d-4, 2.d0, 4.d0, ...
        Znum = 1.d0, 1.d0, 2.d0, ...
        fcs = 1.d0, 0.8d0, 0.1d0, ...
        sgn = -1.d0, 1.d0, 1.d0, ...
        tau = 1.2d0, 1.d0, 1.d0, ...
        dns1 = 1.d-3, 1.d-3, 1.d-3, ...
        tau_ad = 1.d0,
        lambda_i = 2.d-3,
        beta = 5.d-4,
        ibprime = 0,
        vmax = 5.d0,
        nx0 = 30, &end
```

$$L_{\text{ref}} = R_{\text{ax}}, m_{\text{ref}} = m_{\text{p}}, e_{\text{ref}} = e, T_{\text{ref}} = T_{\text{i(1st ion spc.)}}$$

$$B_{\text{ref}} = B_{\text{ax}}, n_{\text{ref}} = n_{\text{e}} \quad \text{GKVにおけるreference値}$$

$$L_{\text{ref}}/L_{n_s}, L_{n_s}^{-1} = -d \ln n_s / d(a\rho)$$

$$L_{\text{ref}}/L_{T_s}, L_{T_s}^{-1} = -d \ln T_s / d(a\rho)$$

1.d0 (for finite collision), 0.d0 (for collisionless)

A-number: m_s/m_{ref}

Z-number: e_s/e_{ref}

charge density: $n_s Z_s / n_{\text{ref}}$ (note that $\sum_{s \neq e} n_s Z_s / n_e = 1$)

sign of charge

$$T_s/T_{\text{ref}}$$

initial amplitude of perturbations

Te/Ti(ETG) or Ti/Te(ITG) for nprocs=1, but is fixed to 1.d0 for nprocs > 1

$$\lambda_{D\text{ref}}^2 / \rho_{\text{ref}}^2 = (\epsilon_0 T_{\text{ref}} / e_{\text{ref}}^2 n_{\text{ref}}) / \rho_{\text{ref}}^2, \quad \rho_{\text{ref}} = m_{\text{ref}} v_{\text{ref}} / e_{\text{ref}} B_{\text{ref}}$$

$$\beta_{\text{ref}} = \mu_0 n_{\text{ref}} T_{\text{ref}} / B_{\text{ref}}^2$$

ignore(0) or include(1) the grad-p part in the magnetic drift

maximum value of velocity space coordinate in $v_{\text{ref}} = (T_{\text{ref}}/m_{\text{ref}})^{1/2}$

the radial wavenumber imposing initial perturbations

GKVのパラメータ設定

gkvp_f0.48_namelistのサンプル (つづき)

```
&nperi n_tht =4,  
      kymin = 0.4d0,  
      m_j = 1  
      del_c = 0.d0, &end  
&confp eps_r = 0.18d0,  
      eps_rnew = 1.d0,  
      q_0 = 1.5d0,  
      s_hat = 0.8d0,  
      lprd = 0.d0,  
      mprd = 0.d0,  
      eps_hor = 0.d0,  
      eps_mor = 0.d0,  
      eps_por = 0.d0,  
      rdeps00 = 0.d0,  
      rdeps1_0 = 1.d0,  
      rdeps1_10 = 0.d0,  
      rdeps2_10 = 0.d0,  
      rdeps3_10 = 0.d0,  
      malpha = 0.d0, &end
```

磁力線方向ボックスサイズ(ポロイダル角で $\pm n_tht \cdot \pi$)

磁力線ラベル方向ボックスサイズ $ly = \pi / kymin$

半径方向ボックスサイズ $lx = \pi / kxmin$, $kxmin = |2 \cdot \pi \cdot s_hat \cdot kymin / m_j|$

磁力線方向境界条件の位相因子 (通常は0.d0)

epsilon(rho_0) (=a/R_{ax}*rho_0): eqdsk/vmecの場合は自動で上書き

q(rho_0): eqdsk/vmecの場合は自動で上書き

s_hat(rho_0): eqdsk/vmecの場合は自動で上書き

$$\hat{s}(\rho) = (\rho/q)(dq/d\rho)$$

モデル磁場: analytic, s-alpha, circ-MHDでの磁場形状パラメータ

GKVのパラメータ設定

gkvp_f0.48_namelistのサンプル (つづき)

```
&vmecp s_input = 0.65,  
      nss = 301,  
      ntheta = 1024, &end  
&bozxf f_bozx="%%DIR%%/vmec/", &end
```

radial position of interest: rho_0
nrho in BZX
ntht in BZX (=2 * global_nz * n_tht)
specify the directory of "metric_boozr.bin.dat"

```
&igsp s_input = 0.50,  
      mc_type = 0,  
      q_type = 1,  
      nss = 2048,  
      ntheta = 65, &end  
&igsf f_igs="%%DIR%%/eqdsk/", &end
```

radial position of interest: rho_0
is fixed to 0 (自然座標系を使用)
is fixed to 1 (実平衡のqで上書き)
NPSI in IGS
NCHI in IGS +1 (=2*global_nz/n_tht +1)
specify the directory of "METRIC_axi.OUT"

```
&nu_ref Nref = 1.d19,  
      Lref = 3.5d0,  
      Tref = 3.d0,  
      col_type = "LB",  
      iFLR = 1,  
      ickcheck = 0, &end
```

nref (=n_e) [m⁻³]
Lref (=R_{ax}) [m]
Tref = (T_i) [keV]
is fixed to LB : Lenard-Bernstein col. operator
with(1) and without(0) FLR terms in collision
is fixed to 0

各粒子種の規格化衝突周波数はこれらを用いて計算され、gkvp_f0.48.***.log.***に出力される

おわりに

- 皆さんの研究に是非GKVコードをご活用ください
- 今後も継続的にメンテナンス/バージョンアップ予定
- ダウンロードサイトを準備予定(後日)
- 利用上の注意
 - コードの著作権は開発者に帰属します
 - 非営利研究には自由に使ってください
 - 結果の正しさは必ずしも保証しません
 - 配布されたコードから変更を加えて実行した結果を公表する場合は、変更点を論文などに明記してください
 - GKVを使用した論文では、以下の文献を引用してください
 - Watanabe, T-H., and H. Sugama. "Velocity-space structures of distribution function in toroidal ion temperature gradient turbulence." *Nuclear Fusion* 46.1 (2006): 24.